



BMC rejillas para conducto circular

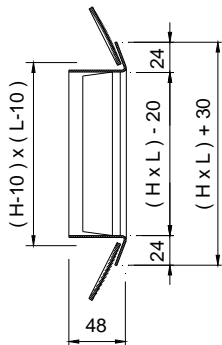


MAD E L[®]

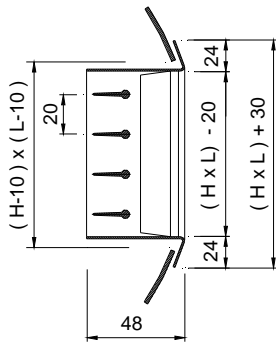
Las rejillas de la serie **BMC** están diseñadas para su aplicación en aire acondicionado, ventilación y calefacción.

Su montaje se realiza directamente al conducto circular. Las lamas orientables individualmente permiten graduar el alcance y altura o amplitud de la vena de aire.

BMC

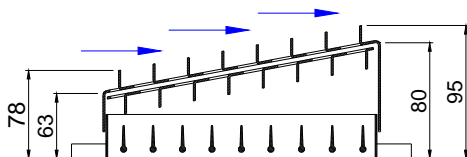


CMC

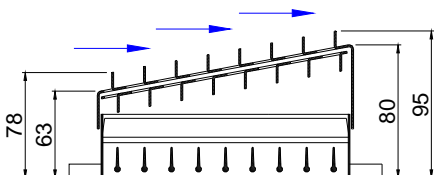


Dia conducto Dia Duct	H
200 - 400	75
300 - 900	125
600 -1600	225

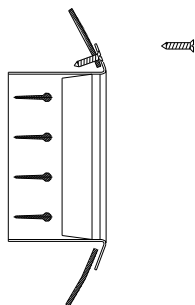
BMC+SD



CMC+SD



(T)



CLASIFICACIÓN

BMC Rejilla de simple deflexión.

CMC Rejilla de doble deflexión.

MATERIAL

Rejilla construida en acero galvanizado. Todas las rejillas van provistas de una junta en la parte posterior del marco para obtener un sellado estanco en todo el perímetro de contacto.

ACCESORIOS ACOPABLES

SD Regulador-captador para el caudal de aire. Funcionamiento por deslizamiento de placas con ventanas superpuestas.

SISTEMAS DE FIJACIÓN

(T) Tornillos visibles.

ACABADOS

M9006 Lacado gris similar al RAL 9006.

M9016 Lacado blanco similar al RAL 9016.

R9010 Lacado blanco RAL 9010.

RAL... Lacado otros colores RAL.

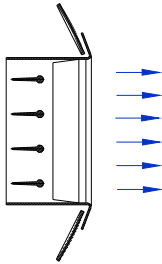
TEXTO DE PRESCRIPCIÓN

Sum. y col. de rejilla de doble deflexión para conductos circulares con aletas orientables individualmente y 1ª fila paralelas a la dimensión menor serie **CMC-SD M9006 (T) dim. LxH**. Construida en acero galvanizado y lacado color gris **M9006** con regulador-captador de caudal, construido en acero **SD**, fijación con tornillos visibles **(T)**. Marca **MADEL**.

BMC

SECCIÓN LIBRE DE SALIDA DEL AIRE m².

H \ L	400	500	600
75	0,016	0,020	0,025
125	0,031	0,039	0,047
225	0,060	0,076	0,087



VELOCIDAD LIBRE, PERDIDA DE CARGA Y POTENCIA SONORA.
V_f (m/s)

VELOCIDADES RECOMENDADAS.

V _{min} m/s	V _{max} m/s
2	4

Determinación del caudal de aire.
Midiendo V_f en diferentes puntos de la rejilla hallamos V_{fmed}.

$$Q \text{ (l/s)} = V_{fmed} \text{ (m/s)} \cdot A_{free} \text{ (m}^2) \cdot 1000$$

$$Q \text{ (m}^3\text{/h)} = V_{fmed} \text{ (m/s)} \cdot A_{free} \text{ (m}^2) \cdot 3600$$

VALORES DE CORRECCIÓN PARA L_{wa1}.

A _{free} m ²	0,01	0,02	0,05
L _{wa1} (kf)	-9	-6	-3

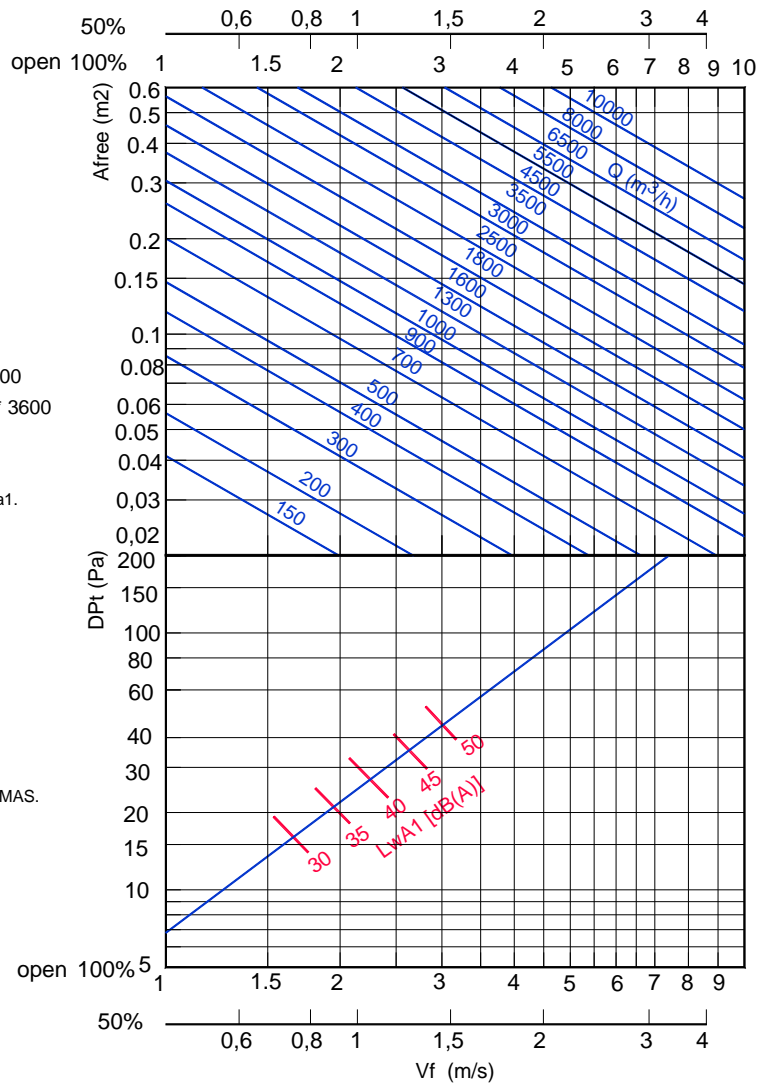
Valores del diagrama referidos a
A_{free} = 0,1 m².

$$L_{wa} = L_{wa1} + K_f$$

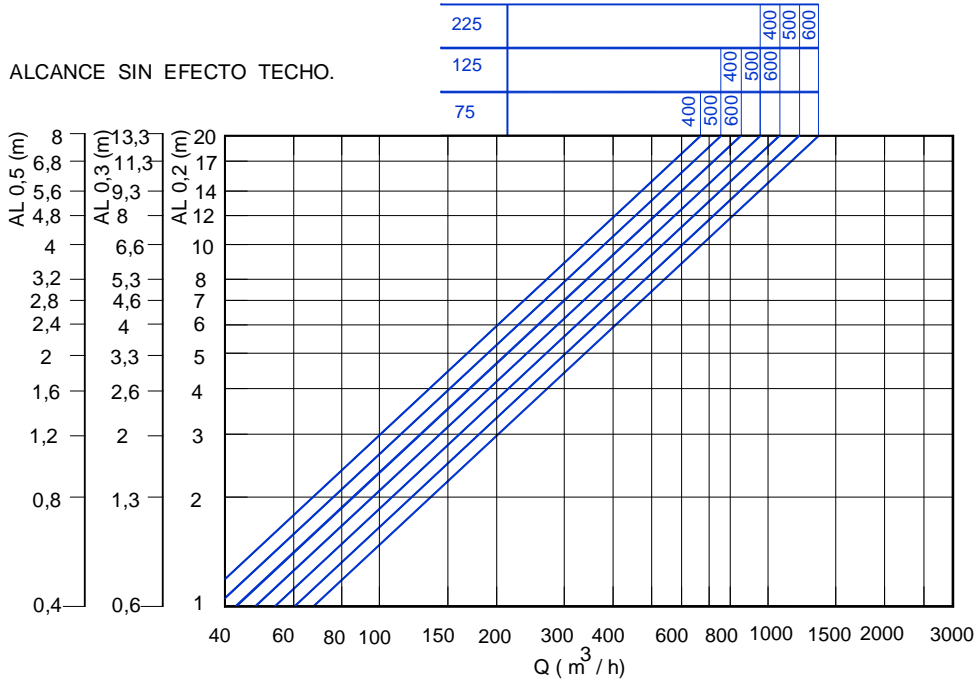
FACTOR DE CORRECCIÓN PARA
DIFERENTES POSICIONES DE LAS LAMAS.

	0°	22°	45°
K _p	1	1,28	1,4

$$Dp_t' = Dp_t \times K_p$$

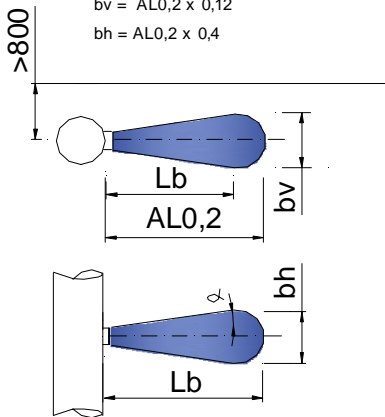


BMC



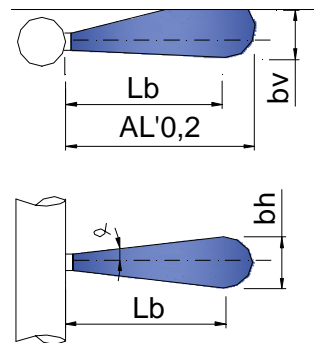
POSICIÓN LAMAS 0°
SIN EFECTO TECHO

- AL0,2
- Lb = AL0,2 x 0,53
- bv = AL0,2 x 0,12
- bh = AL0,2 x 0,4



POSICIÓN LAMAS 0°
CON EFECTO TECHO.

- AL'0,2 = AL0,2 x 1,33
- Lb = AL0,2 x 0,7
- bv = AI0,2 x 0,106
- bh = AI0,2 x 0,53



FACTOR DE CORRECCIÓN PARA LA POSICIÓN DE LAS LAMAS.

- AL0,2(22°) = AI0,2 x 0,8
- Lb(22°) = AL0,2 x 0,53
- bv(22°) = AI0,2 x 0,096
- bh(22°) = AI0,2 x 0,48
- AL0,2(45°) = AI0,2 x 0,5
- Lb(45°) = AL0,2 x 0,33
- bv(45°) = AI0,2 x 0,06
- bh(45°) = AI0,2 x 0,6

FACTOR DE CORRECCIÓN PARA LA POSICIÓN DE LAS LAMAS.

- AL0,2(22°) = AI0,2 x 1,064
- Lb(22°) = AI0,2 x 0,7
- bv(22°) = AI0,2 x 0,08
- bh(22°) = AI0,2 x 0,64
- Lb(45°) = AI0,2 x 0,66
- Lb(45°) = AI0,2 x 0,44
- bv(45°) = AI0,2 x 0,054
- bh(45°) = AI0,2 x 0,798